

WYNIKI CIĄGLYCH POMIARÓW HAŁASU W ŚRODOWISKU DLA PORTU LOTNICZEGO IM. F. CHOPINA W WARSZAWIE

Nazwa obiektu: punkt pomiarowy nr 5 „Meral”

Data wykonania pomiaru:

początek: 01-07-2019

koniec: 31-07-2019

Lokalizacja punktu pomiarowego: Warszawa, ul. Czeresiñowa 98

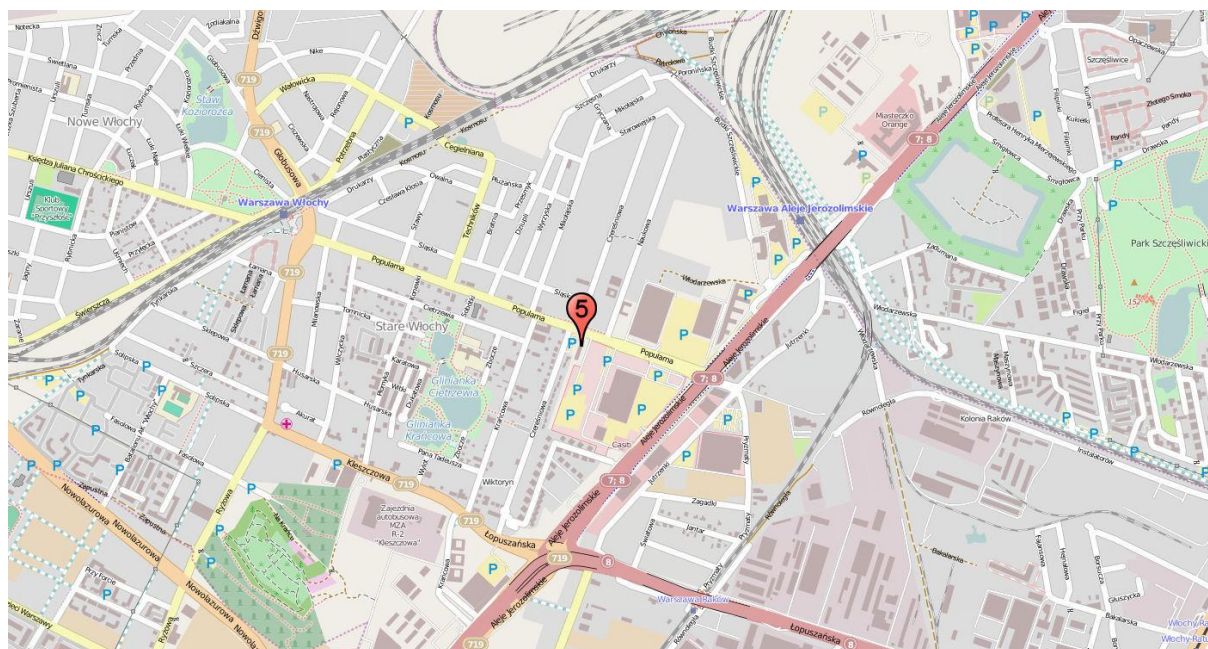
Układ współrzędnych: WGS 84

Szerokość geograficzna: N 52° 12' 08,4”

Długość geograficzna: E 20° 55' 48,2”

Względna wysokość punktu pomiarowego [m]: 24

Lokalizacja na planie:



Metoda badań:

Metoda ciągłych lub okresowych pomiarów monitoringowych: metodyka referencyjna, określona w załączniku nr 1 do rozporządzenia Ministra Środowiska z dnia 16.06.2011 w sprawie wymagań w zakresie prowadzenia pomiarów poziomów substancji lub energii w środowisku przez zarządzającego drogą, linią kolejową, linią tramwajową, lotniskiem, portem.

Metody obliczeniowe: jw.

Aparatura pomiarowa:

Analizator poziomu dźwięku (producent; nr typu): Lochard, EMU-2

Mikrofon/sonda mikrofonowa (producent; nr typu): Lochard, 41DM-2

Świadectwo uwierzytelnienia nr 1280.4-M24-4180-297/15 z dnia 16.11.2016 r. wydane przez Prezesa Głównego Urzędu Miar

Wzorzec akustyczny (producent; nr typu): Brüel & Kjær; 4228

Równoważny poziom dźwięku w porze dnia i w porze nocy
w odniesieniu do jednej doby, wg wskaźników L_{AeqD} i L_{AeqN}
powodowany przez starty, lądowania i przeloty statków
powietrznych

| Dzień miesiąca/ Lipiec 2019r. | Równoważny poziom dźwięku | |
|----------------------------------|------------------------------|------------------------------|
| | Pora dnia L_{AeqD} w dB | Pora nocy L_{AeqN} w dB |
| 1 | 58,5 | 52,7 |
| 2 | 58,1 | 52,3 |
| 3 | 57,6 | 52,7 |
| 4 | 57,7 | 51,5 |
| 5 | 57,8 | 50,1 |
| 6 | 57,6 | 54,8 |
| 7 | 56,6 | 52,1 |
| 8 | 57,2 | 51,3 |
| 9 | 57,0 | 57,3 |
| 10 | 57,0 | 52,8 |
| 11 | 57,5 | 52,8 |
| 12 | 57,9 | 43,8 |
| 13 | 55,5 | 53,1 |
| 14 | 56,7 | 51,2 |
| 15 | 56,9 | 49,0 |
| 16 | 58,0 | 51,5 |
| 17 | 57,3 | 53,3 |
| 18 | 57,7 | 51,5 |
| 19 | 57,4 | 50,7 |
| 20 | 57,7 | 49,4 |
| 21 | 56,6 | 52,5 |
| 22 | 57,1 | 50,1 |
| 23 | 57,4 | 49,4 |
| 24 | 57,5 | 52,2 |
| 25 | 57,3 | 52,8 |
| 26 | 57,9 | 53,7 |
| 27 | 50,4 | 36,8 |
| 28 | 55,2 | 57,2 |
| 29 | 54,0 | 49,6 |
| 30 | 57,4 | 52,7 |
| 31 | 57,4 | 52,9 |

Zgodnie z art. 112a ustawy – Prawo ochrony środowiska oraz rozporządzeniem Ministra Środowiska z dnia 16 czerwca 2011 r. w sprawie wymagań w zakresie prowadzenia pomiarów poziomów substancji lub energii w środowisku przez zarządzającego drogą, linią kolejową, linią tramwajową, lotniskiem lub portem, do ustalania i kontroli warunków korzystania ze środowiska mają zastosowanie wskaźniki hałasu odnoszące się do jednej doby:

- L_{AeqD} – równoważny poziom dźwięku A dla pory dnia (rozumianej jako przedział czasu od godz. 6.00 do godz. 22.00),
- L_{AeqN} – równoważny poziom dźwięku A dla pory nocy (rozumianej jako przedział czasu od godz. 22.00 do godz. 6.00).

Wyznaczone wartości tych wskaźników dla poszczególnych dni i nocy w lipcu 2019 podano w tabeli powyżej.

W tabelach poniżej podano zestawienia zdarzeń akustycznych zarejestrowanych w punkcie pomiarowym, na podstawie których wyznaczono wartości wskaźników L_{AeqD} i L_{AeqN} dla poszczególnych dni i nocy w miesiącu.

Zestawienie zdarzeń akustycznych spowodowanych przelotami statków powietrznych w porze dnia (przedział czasu pomiędzy godz. 06.00 – 22.00)

| Data i godz. zdarzenia | Samolot | Operacja* | L _{Aeq} | L _{Amax} | L _{AE} |
|------------------------|---------|-----------|------------------|-------------------|-----------------|
| | | | [dB] | [dB] | [dB] |
| 2019-07-01 22:17 | AT75 | D | 66,4 | 69 | 79 |
| 2019-07-01 22:21 | A321 | D | 64,4 | 66,1 | 74,8 |
| 2019-07-01 23:07 | B738 | D | 74,1 | 79,9 | 88,4 |
| 2019-07-01 23:40 | B734 | D | 75,2 | 82 | 91 |
| 2019-07-02 00:11 | B738 | D | 75,2 | 80,9 | 90 |
| 2019-07-02 00:13 | B734 | D | 75,9 | 82,5 | 91,5 |
| 2019-07-02 01:22 | B734 | D | 76 | 82,8 | 91,1 |
| 2019-07-02 23:30 | B788 | D | 71,2 | 74,3 | 85,5 |
| 2019-07-02 23:37 | E195 | D | 73 | 79,2 | 88,4 |
| 2019-07-03 00:02 | B734 | D | 73,7 | 80,2 | 90 |
| 2019-07-03 00:08 | B738 | D | 72,8 | 77,8 | 89,3 |
| 2019-07-03 00:45 | B734 | D | 72,4 | 78,6 | 89,5 |
| 2019-07-03 01:52 | B738 | D | 72,3 | 77,8 | 88,2 |
| 2019-07-03 22:32 | B763 | D | 74,8 | 81,5 | 92,6 |
| 2019-07-03 22:58 | B734 | D | 74,8 | 80,1 | 89,7 |
| 2019-07-03 23:23 | B734 | D | 72,7 | 78,5 | 89,5 |
| 2019-07-04 00:01 | B733 | D | 73,7 | 80 | 89,1 |
| 2019-07-04 00:03 | A321 | D | 71,8 | 76,3 | 88 |
| 2019-07-04 22:06 | B763 | D | 76 | 83,8 | 92,5 |
| 2019-07-04 23:11 | B734 | D | 73,9 | 80,5 | 90,3 |
| 2019-07-04 23:33 | B733 | D | 74,9 | 81,3 | 90,6 |
| 2019-07-04 23:35 | B789 | D | 73,9 | 79,9 | 88,6 |
| 2019-07-05 22:15 | B752 | D | 70,2 | 74,7 | 87,7 |
| 2019-07-05 23:14 | B733 | D | 68 | 72,8 | 84,9 |
| 2019-07-05 23:41 | B738 | D | 74,2 | 79,1 | 90,6 |
| 2019-07-05 23:45 | B738 | D | 74,1 | 79,7 | 90,2 |
| 2019-07-06 22:14 | B738 | D | 74,2 | 80,2 | 90,6 |
| 2019-07-06 22:28 | B738 | D | 71,6 | 76,7 | 88 |
| 2019-07-06 22:31 | A320 | D | 71,1 | 75,2 | 86,5 |
| 2019-07-06 22:34 | B738 | D | 74,7 | 80,1 | 90,1 |
| 2019-07-06 23:04 | B734 | D | 74,4 | 81,2 | 90,4 |
| 2019-07-06 23:27 | B733 | D | 74 | 80,3 | 89,8 |
| 2019-07-06 23:32 | B738 | D | 74,5 | 79,6 | 90 |
| 2019-07-06 23:38 | B788 | D | 70,8 | 75,8 | 85,9 |
| 2019-07-06 23:41 | E195 | D | 73,2 | 78,7 | 88,4 |
| 2019-07-07 00:09 | B734 | D | 75,2 | 81,7 | 91,2 |
| 2019-07-07 00:57 | B733 | D | 73,6 | 79,2 | 90,3 |
| 2019-07-07 23:49 | B734 | D | 76 | 81,3 | 91,8 |
| 2019-07-07 23:51 | B734 | D | 74 | 79,8 | 91 |
| 2019-07-08 01:14 | B738 | D | 72,7 | 78,5 | 89 |
| 2019-07-08 01:34 | B763 | D | 76,9 | 83,5 | 93 |
| 2019-07-08 22:15 | E75S | D | 62,8 | 63,6 | 71,8 |
| 2019-07-08 23:31 | B734 | D | 74,8 | 80,8 | 91,6 |
| 2019-07-08 23:36 | B738 | D | 74,4 | 80,1 | 90,4 |
| 2019-07-08 23:43 | B788 | D | 71,5 | 75,9 | 87,1 |
| 2019-07-09 00:03 | B788 | D | 70,5 | 73,9 | 84,8 |
| 2019-07-09 00:09 | B734 | D | 75,8 | 82,3 | 91,7 |
| 2019-07-09 22:01 | B734 | D | 66,2 | 70,6 | 83,4 |
| 2019-07-09 22:47 | E170 | D | 64,5 | 66,1 | 80,3 |
| 2019-07-09 23:11 | A124 | D | 81,8 | 90,6 | 99,3 |
| 2019-07-09 23:17 | B734 | D | 73,5 | 79,3 | 89,5 |
| 2019-07-09 23:23 | CRJ9 | D | 62,9 | 64,5 | 72,9 |

| Data i godz. zdarzenia | Samolot | Operacja* | L _{Aeq} | L _{Amax} | L _{AE} |
|------------------------|---------|-----------|------------------|-------------------|-----------------|
| | | | [dB] | [dB] | [dB] |
| 2019-07-09 23:26 | B734 | D | 74,3 | 80,1 | 90,9 |
| 2019-07-09 23:34 | DH8D | D | 62,7 | 64,1 | 73,9 |
| 2019-07-09 23:38 | B788 | D | 71,5 | 74,6 | 86,4 |
| 2019-07-09 23:51 | E195 | D | 72,9 | 78,2 | 87,8 |
| 2019-07-09 23:54 | B733 | D | 72,8 | 79,3 | 89,8 |
| 2019-07-09 23:56 | B734 | D | 73,1 | 78,7 | 89,5 |
| 2019-07-10 05:53 | B738 | D | 63,7 | 64,4 | 74,2 |
| 2019-07-10 22:12 | B763 | D | 77,4 | 84,3 | 93,6 |
| 2019-07-10 23:05 | E190 | D | 62,5 | 64 | 73 |
| 2019-07-10 23:26 | B734 | D | 75 | 81,6 | 91,8 |
| 2019-07-10 23:29 | B734 | D | 74 | 82,1 | 91,6 |
| 2019-07-10 23:33 | B733 | D | 74,1 | 81,4 | 90,3 |
| 2019-07-11 00:03 | B738 | D | 75,5 | 81,3 | 91,3 |
| 2019-07-11 22:00 | B763 | D | 77,5 | 84,6 | 93,4 |
| 2019-07-11 22:50 | B739 | D | 74,8 | 81,2 | 90,9 |
| 2019-07-11 22:56 | B734 | D | 74,7 | 81,5 | 90,9 |
| 2019-07-11 23:03 | DH8D | D | 72,7 | 79,7 | 86,1 |
| 2019-07-11 23:29 | B734 | D | 74 | 80,5 | 90,3 |
| 2019-07-11 23:38 | B789 | D | 74,4 | 79,4 | 89,3 |
| 2019-07-12 23:16 | CRJ9 | D | 64,8 | 69,2 | 78,6 |
| 2019-07-12 23:23 | B762 | D | 72 | 77 | 87,4 |
| 2019-07-13 22:03 | B738 | D | 74,4 | 81,9 | 91,1 |
| 2019-07-13 23:01 | B734 | D | 76,6 | 83,6 | 92,4 |
| 2019-07-13 23:20 | E195 | D | 73,5 | 79,5 | 88,9 |
| 2019-07-13 23:29 | B788 | D | 72,3 | 76,3 | 87 |
| 2019-07-13 23:32 | B734 | D | 74,6 | 81,3 | 91 |
| 2019-07-13 23:49 | B738 | D | 75,1 | 81,6 | 91,3 |
| 2019-07-14 00:06 | B734 | D | 75,5 | 82,5 | 91,6 |
| 2019-07-14 22:46 | B734 | D | 75,3 | 81,7 | 90,9 |
| 2019-07-14 23:30 | B738 | D | 75,3 | 81,3 | 91,2 |
| 2019-07-14 23:34 | B734 | D | 75 | 83,1 | 91,3 |
| 2019-07-15 00:08 | B738 | D | 74,6 | 80,3 | 89,4 |
| 2019-07-15 23:12 | B734 | D | 75,5 | 82,3 | 91,2 |
| 2019-07-15 23:50 | B789 | D | 74,2 | 80,2 | 88,6 |
| 2019-07-16 01:25 | A321 | D | 73,2 | 78,2 | 88,4 |
| 2019-07-16 23:02 | DH8D | D | 64 | 66,2 | 74,4 |
| 2019-07-16 23:17 | E75S | D | 63,1 | 65,4 | 73,5 |
| 2019-07-16 23:19 | CRJ9 | D | 63,4 | 63,9 | 72,4 |
| 2019-07-16 23:22 | E75S | D | 63,2 | 65,3 | 77,9 |
| 2019-07-16 23:39 | B734 | D | 74,7 | 82,9 | 92,5 |
| 2019-07-16 23:44 | E195 | D | 73,3 | 79,2 | 88,8 |
| 2019-07-16 23:50 | B734 | D | 75,5 | 82,5 | 91,3 |
| 2019-07-16 23:52 | B788 | D | 77,3 | 83,9 | 93 |
| 2019-07-17 00:32 | B789 | D | 74,2 | 78,1 | 88,7 |
| 2019-07-17 23:02 | B734 | D | 73,2 | 79,2 | 89,2 |
| 2019-07-17 23:09 | E195 | D | 69,6 | 73,4 | 85,4 |
| 2019-07-17 23:16 | B763 | D | 77,1 | 84,5 | 93,2 |
| 2019-07-17 23:37 | B738 | D | 75 | 81 | 91 |
| 2019-07-17 23:48 | B738 | D | 74 | 80 | 90,2 |
| 2019-07-17 23:51 | B734 | D | 75,4 | 81,3 | 90,7 |
| 2019-07-18 05:40 | CL30 | D | 63,9 | 64,8 | 73 |
| 2019-07-18 23:07 | B763 | D | 78,4 | 86,4 | 94,4 |
| 2019-07-18 23:22 | B734 | D | 75,6 | 82,2 | 90,6 |
| 2019-07-18 23:24 | E195 | D | 64,9 | 67,7 | 76,6 |
| 2019-07-18 23:35 | E190 | D | 62,7 | 63,7 | 73,5 |
| 2019-07-19 03:37 | E195 | D | 74,4 | 80,2 | 88,5 |
| 2019-07-19 23:08 | C295 | D | 63,9 | 65,3 | 74,3 |

| Data i godz. zdarzenia | Samolot | Operacja* | L _{Aeq} | L _{Amax} | L _{AE} |
|------------------------|---------|-----------|------------------|-------------------|-----------------|
| | | | [dB] | [dB] | [dB] |
| 2019-07-19 23:13 | B734 | D | 74,6 | 80,6 | 90,3 |
| 2019-07-19 23:44 | B733 | D | 73,8 | 79,9 | 89,6 |
| 2019-07-19 23:46 | B737 | D | 72,2 | 77,7 | 88,1 |
| 2019-07-19 23:49 | A321 | D | 72,1 | 77,4 | 88,1 |
| 2019-07-20 23:08 | E195 | D | 74,4 | 79,7 | 88,2 |
| 2019-07-20 23:41 | B738 | D | 76,7 | 81,3 | 90,5 |
| 2019-07-20 23:45 | B734 | D | 76,3 | 82,4 | 91 |
| 2019-07-21 22:09 | B738 | D | 73,1 | 79 | 88 |
| 2019-07-21 22:27 | E195 | D | 71,7 | 76,6 | 87,4 |
| 2019-07-21 22:38 | E75S | D | 71,7 | 77 | 87,2 |
| 2019-07-21 23:30 | E195 | D | 72 | 77,2 | 87,7 |
| 2019-07-21 23:35 | B789 | D | 71,5 | 75,3 | 85,6 |
| 2019-07-21 23:46 | B738 | D | 73,7 | 78,9 | 89,2 |
| 2019-07-21 23:54 | B734 | D | 74,7 | 81,1 | 90,3 |
| 2019-07-22 22:11 | A321 | D | 72,5 | 78,3 | 88,6 |
| 2019-07-22 23:06 | E195 | D | 73 | 78,9 | 88 |
| 2019-07-22 23:33 | E75S | D | 73,2 | 78,3 | 88,3 |
| 2019-07-22 23:35 | E195 | D | 73,6 | 79,4 | 88,5 |
| 2019-07-23 00:37 | B788 | D | 71,6 | 76,1 | 86 |
| 2019-07-23 23:13 | E195 | D | 74,7 | 81,2 | 89,2 |
| 2019-07-23 23:34 | B734 | D | 75,7 | 81,9 | 91,6 |
| 2019-07-23 23:53 | B738 | D | 72,9 | 79,6 | 89 |
| 2019-07-24 22:49 | B734 | D | 75,5 | 82,5 | 91,5 |
| 2019-07-24 22:53 | B734 | D | 76,3 | 83 | 91,7 |
| 2019-07-24 23:11 | CRJ9 | D | 75 | 80,9 | 88,4 |
| 2019-07-24 23:29 | B738 | D | 73,4 | 79,9 | 89,1 |
| 2019-07-25 00:19 | B738 | D | 72,2 | 77,1 | 86,9 |
| 2019-07-25 00:34 | B738 | D | 75 | 81,7 | 90,7 |
| 2019-07-25 22:01 | B738 | D | 73,3 | 79,3 | 88,8 |
| 2019-07-25 22:02 | B738 | D | 75,8 | 82,7 | 91,5 |
| 2019-07-25 22:13 | B763 | D | 65,4 | 69,7 | 76,2 |
| 2019-07-25 22:23 | E195 | D | 64,1 | 65,8 | 75,9 |
| 2019-07-25 22:48 | B734 | D | 75,5 | 81,5 | 90,9 |
| 2019-07-25 22:56 | E190 | D | 63,2 | 64,3 | 76,7 |
| 2019-07-25 23:38 | B788 | D | 72,4 | 77,2 | 86,6 |
| 2019-07-26 00:25 | B788 | D | 72,5 | 75,9 | 86 |
| 2019-07-26 23:13 | B738 | D | 74,9 | 80,3 | 89,5 |
| 2019-07-26 23:15 | B734 | D | 76,5 | 82,1 | 91,8 |
| 2019-07-26 23:18 | C295 | D | 63,8 | 66,8 | 75,3 |
| 2019-07-26 23:22 | B734 | D | 76,7 | 83,9 | 91,9 |
| 2019-07-26 23:58 | B737 | D | 75,1 | 81,1 | 89,3 |
| 2019-07-27 00:18 | B734 | D | 76,5 | 82,7 | 91,4 |
| 2019-07-27 00:44 | A321 | D | 74 | 79,2 | 89,3 |
| 2019-07-27 00:46 | E195 | D | 73,4 | 78,8 | 88,3 |
| 2019-07-27 00:52 | E195 | D | 74,2 | 79,8 | 88,3 |
| 2019-07-27 22:03 | P180 | A | 65 | 68,1 | 81,4 |
| 2019-07-28 22:02 | B738 | D | 75,8 | 81,3 | 89,4 |
| 2019-07-28 22:08 | A321 | D | 74,7 | 80 | 89,9 |
| 2019-07-28 22:14 | B738 | D | 76 | 82,9 | 90,9 |
| 2019-07-28 22:41 | B739 | D | 74,8 | 81,2 | 89,8 |
| 2019-07-28 22:43 | B738 | D | 75,3 | 81 | 89,2 |
| 2019-07-28 22:53 | DH8D | D | 67 | 68,7 | 78,8 |
| 2019-07-28 23:07 | CRJ9 | D | 70,5 | 75,8 | 84,5 |
| 2019-07-28 23:09 | CRJ9 | D | 70,7 | 74,7 | 85 |
| 2019-07-28 23:13 | E195 | D | 76 | 81,4 | 89,6 |
| 2019-07-28 23:15 | DH8D | D | 67,6 | 70,3 | 79,3 |
| 2019-07-28 23:16 | E190 | D | 73 | 78,2 | 86,8 |

| Data i godz. zdarzenia | Samolot | Operacja* | L _{Aeq} | L _{Amax} | L _{AE} |
|------------------------|---------|-----------|------------------|-------------------|-----------------|
| | | | [dB] | [dB] | [dB] |
| 2019-07-28 23:18 | DH8D | D | 66,1 | 68,4 | 78,2 |
| 2019-07-28 23:20 | DH8D | D | 66,7 | 70,1 | 79,2 |
| 2019-07-28 23:21 | E195 | D | 74,2 | 80,1 | 88,4 |
| 2019-07-28 23:23 | DH8D | D | 66,6 | 70 | 79,4 |
| 2019-07-28 23:26 | E170 | D | 73,1 | 77,7 | 87,4 |
| 2019-07-28 23:29 | E195 | D | 74,6 | 80,5 | 88,4 |
| 2019-07-28 23:31 | DH8D | D | 68,2 | 71,2 | 80,3 |
| 2019-07-28 23:33 | B734 | D | 79 | 86 | 93 |
| 2019-07-28 23:35 | E195 | D | 73,6 | 79,4 | 87,4 |
| 2019-07-28 23:37 | DH8D | D | 67,4 | 71,3 | 81,2 |
| 2019-07-28 23:38 | B738 | D | 76 | 80,9 | 89,8 |
| 2019-07-28 23:40 | B738 | D | 75 | 80,5 | 88,8 |
| 2019-07-28 23:42 | B734 | D | 75,5 | 82,5 | 90,4 |
| 2019-07-28 23:45 | E190 | D | 74,3 | 80,3 | 88,1 |
| 2019-07-29 05:25 | B789 | A | 71,2 | 76,8 | 86,2 |
| 2019-07-29 05:38 | B752 | A | 71,6 | 76,2 | 86,5 |
| 2019-07-29 05:45 | B752 | A | 72,8 | 78 | 87,7 |
| 2019-07-29 22:21 | B738 | D | 75,1 | 80,5 | 89,6 |
| 2019-07-29 23:00 | E195 | D | 72 | 77 | 86,9 |
| 2019-07-29 23:20 | B734 | D | 74,7 | 80,5 | 90,4 |
| 2019-07-29 23:27 | B734 | D | 62,9 | 63,9 | 72,4 |
| 2019-07-30 23:15 | CRJ9 | D | 64 | 66,2 | 75,1 |
| 2019-07-30 23:16 | DH8D | D | 66,2 | 68,5 | 81,9 |
| 2019-07-30 23:24 | B788 | D | 71,4 | 76,4 | 86 |
| 2019-07-30 23:35 | B734 | D | 77,1 | 84,1 | 92,7 |
| 2019-07-30 23:37 | B738 | D | 74,3 | 80,4 | 88,6 |
| 2019-07-31 00:04 | B738 | D | 74,5 | 81 | 89,7 |
| 2019-07-31 00:19 | B734 | D | 74,1 | 80,1 | 90,4 |
| 2019-07-31 05:49 | B738 | D | 74,2 | 82,3 | 90,4 |
| 2019-07-31 22:02 | B734 | D | 63,3 | 64,2 | 72,3 |
| 2019-07-31 22:05 | B752 | D | 71,5 | 76,1 | 87,7 |
| 2019-07-31 22:58 | B734 | D | 74,7 | 81,3 | 90,5 |
| 2019-07-31 23:00 | B733 | D | 74,5 | 81,8 | 89,8 |
| 2019-07-31 23:32 | E195 | D | 75,8 | 81,7 | 89,9 |
| 2019-08-01 00:29 | B738 | D | 75,9 | 81,3 | 90,7 |
| 2019-08-01 01:31 | B738 | D | 77 | 83,5 | 91,6 |

Zestawienie zdarzeń akustycznych spowodowanych przelotami statków powietrznych w porze nocy (przedział czasu pomiędzy godz. 22.00 – 06.00)

| Data i godz. zdarzenia | Samolot | Operacja* | L _{Aeq} | L _{Amax} | L _{AE} |
|------------------------|---------|-----------|------------------|-------------------|-----------------|
| | | | [dB] | [dB] | [dB] |
| 2019-07-01 22:17 | AT75 | D | 66,4 | 69 | 79 |
| 2019-07-01 22:21 | A321 | D | 64,4 | 66,1 | 74,8 |
| 2019-07-01 23:07 | B738 | D | 74,1 | 79,9 | 88,4 |
| 2019-07-01 23:40 | B734 | D | 75,2 | 82 | 91 |
| 2019-07-02 00:11 | B738 | D | 75,2 | 80,9 | 90 |
| 2019-07-02 00:13 | B734 | D | 75,9 | 82,5 | 91,5 |
| 2019-07-02 01:22 | B734 | D | 76 | 82,8 | 91,1 |
| 2019-07-02 23:30 | B788 | D | 71,2 | 74,3 | 85,5 |
| 2019-07-02 23:37 | E195 | D | 73 | 79,2 | 88,4 |
| 2019-07-03 00:02 | B734 | D | 73,7 | 80,2 | 90 |
| 2019-07-03 00:08 | B738 | D | 72,8 | 77,8 | 89,3 |

| Data i godz. zdarzenia | Samolot | Operacja* | L _{Aeq} | L _{Amax} | L _{AE} |
|------------------------|---------|-----------|------------------|-------------------|-----------------|
| | | | [dB] | [dB] | [dB] |
| 2019-07-03 00:45 | B734 | D | 72,4 | 78,6 | 89,5 |
| 2019-07-03 01:52 | B738 | D | 72,3 | 77,8 | 88,2 |
| 2019-07-03 22:32 | B763 | D | 74,8 | 81,5 | 92,6 |
| 2019-07-03 22:58 | B734 | D | 74,8 | 80,1 | 89,7 |
| 2019-07-03 23:23 | B734 | D | 72,7 | 78,5 | 89,5 |
| 2019-07-04 00:01 | B733 | D | 73,7 | 80 | 89,1 |
| 2019-07-04 00:03 | A321 | D | 71,8 | 76,3 | 88 |
| 2019-07-04 22:06 | B763 | D | 76 | 83,8 | 92,5 |
| 2019-07-04 23:11 | B734 | D | 73,9 | 80,5 | 90,3 |
| 2019-07-04 23:33 | B733 | D | 74,9 | 81,3 | 90,6 |
| 2019-07-04 23:35 | B789 | D | 73,9 | 79,9 | 88,6 |
| 2019-07-05 22:15 | B752 | D | 70,2 | 74,7 | 87,7 |
| 2019-07-05 23:14 | B733 | D | 68 | 72,8 | 84,9 |
| 2019-07-05 23:41 | B738 | D | 74,2 | 79,1 | 90,6 |
| 2019-07-05 23:45 | B738 | D | 74,1 | 79,7 | 90,2 |
| 2019-07-06 22:14 | B738 | D | 74,2 | 80,2 | 90,6 |
| 2019-07-06 22:28 | B738 | D | 71,6 | 76,7 | 88 |
| 2019-07-06 22:31 | A320 | D | 71,1 | 75,2 | 86,5 |
| 2019-07-06 22:34 | B738 | D | 74,7 | 80,1 | 90,1 |
| 2019-07-06 23:04 | B734 | D | 74,4 | 81,2 | 90,4 |
| 2019-07-06 23:27 | B733 | D | 74 | 80,3 | 89,8 |
| 2019-07-06 23:32 | B738 | D | 74,5 | 79,6 | 90 |
| 2019-07-06 23:38 | B788 | D | 70,8 | 75,8 | 85,9 |
| 2019-07-06 23:41 | E195 | D | 73,2 | 78,7 | 88,4 |
| 2019-07-07 00:09 | B734 | D | 75,2 | 81,7 | 91,2 |
| 2019-07-07 00:57 | B733 | D | 73,6 | 79,2 | 90,3 |
| 2019-07-07 23:49 | B734 | D | 76 | 81,3 | 91,8 |
| 2019-07-07 23:51 | B734 | D | 74 | 79,8 | 91 |
| 2019-07-08 01:14 | B738 | D | 72,7 | 78,5 | 89 |
| 2019-07-08 01:34 | B763 | D | 76,9 | 83,5 | 93 |
| 2019-07-08 22:15 | E75S | D | 62,8 | 63,6 | 71,8 |
| 2019-07-08 23:31 | B734 | D | 74,8 | 80,8 | 91,6 |
| 2019-07-08 23:36 | B738 | D | 74,4 | 80,1 | 90,4 |
| 2019-07-08 23:43 | B788 | D | 71,5 | 75,9 | 87,1 |
| 2019-07-09 00:03 | B788 | D | 70,5 | 73,9 | 84,8 |
| 2019-07-09 00:09 | B734 | D | 75,8 | 82,3 | 91,7 |
| 2019-07-09 22:01 | B734 | D | 66,2 | 70,6 | 83,4 |
| 2019-07-09 22:47 | E170 | D | 64,5 | 66,1 | 80,3 |
| 2019-07-09 23:11 | A124 | D | 81,8 | 90,6 | 99,3 |
| 2019-07-09 23:17 | B734 | D | 73,5 | 79,3 | 89,5 |
| 2019-07-09 23:23 | CRJ9 | D | 62,9 | 64,5 | 72,9 |
| 2019-07-09 23:26 | B734 | D | 74,3 | 80,1 | 90,9 |
| 2019-07-09 23:34 | DH8D | D | 62,7 | 64,1 | 73,9 |
| 2019-07-09 23:38 | B788 | D | 71,5 | 74,6 | 86,4 |
| 2019-07-09 23:51 | E195 | D | 72,9 | 78,2 | 87,8 |
| 2019-07-09 23:54 | B733 | D | 72,8 | 79,3 | 89,8 |
| 2019-07-09 23:56 | B734 | D | 73,1 | 78,7 | 89,5 |
| 2019-07-10 05:53 | B738 | D | 63,7 | 64,4 | 74,2 |
| 2019-07-10 22:12 | B763 | D | 77,4 | 84,3 | 93,6 |
| 2019-07-10 23:05 | E190 | D | 62,5 | 64 | 73 |
| 2019-07-10 23:26 | B734 | D | 75 | 81,6 | 91,8 |
| 2019-07-10 23:29 | B734 | D | 74 | 82,1 | 91,6 |
| 2019-07-10 23:33 | B733 | D | 74,1 | 81,4 | 90,3 |
| 2019-07-11 00:03 | B738 | D | 75,5 | 81,3 | 91,3 |
| 2019-07-11 22:00 | B763 | D | 77,5 | 84,6 | 93,4 |
| 2019-07-11 22:50 | B739 | D | 74,8 | 81,2 | 90,9 |
| 2019-07-11 22:56 | B734 | D | 74,7 | 81,5 | 90,9 |

| Data i godz. zdarzenia | Samolot | Operacja* | L _{Aeq} | L _{Amax} | L _{AE} |
|------------------------|---------|-----------|------------------|-------------------|-----------------|
| | | | [dB] | [dB] | [dB] |
| 2019-07-11 23:03 | DH8D | D | 72,7 | 79,7 | 86,1 |
| 2019-07-11 23:29 | B734 | D | 74 | 80,5 | 90,3 |
| 2019-07-11 23:38 | B789 | D | 74,4 | 79,4 | 89,3 |
| 2019-07-12 23:16 | CRJ9 | D | 64,8 | 69,2 | 78,6 |
| 2019-07-12 23:23 | B762 | D | 72 | 77 | 87,4 |
| 2019-07-13 22:03 | B738 | D | 74,4 | 81,9 | 91,1 |
| 2019-07-13 23:01 | B734 | D | 76,6 | 83,6 | 92,4 |
| 2019-07-13 23:20 | E195 | D | 73,5 | 79,5 | 88,9 |
| 2019-07-13 23:29 | B788 | D | 72,3 | 76,3 | 87 |
| 2019-07-13 23:32 | B734 | D | 74,6 | 81,3 | 91 |
| 2019-07-13 23:49 | B738 | D | 75,1 | 81,6 | 91,3 |
| 2019-07-14 00:06 | B734 | D | 75,5 | 82,5 | 91,6 |
| 2019-07-14 22:46 | B734 | D | 75,3 | 81,7 | 90,9 |
| 2019-07-14 23:30 | B738 | D | 75,3 | 81,3 | 91,2 |
| 2019-07-14 23:34 | B734 | D | 75 | 83,1 | 91,3 |
| 2019-07-15 00:08 | B738 | D | 74,6 | 80,3 | 89,4 |
| 2019-07-15 23:12 | B734 | D | 75,5 | 82,3 | 91,2 |
| 2019-07-15 23:50 | B789 | D | 74,2 | 80,2 | 88,6 |
| 2019-07-16 01:25 | A321 | D | 73,2 | 78,2 | 88,4 |
| 2019-07-16 23:02 | DH8D | D | 64 | 66,2 | 74,4 |
| 2019-07-16 23:17 | E75S | D | 63,1 | 65,4 | 73,5 |
| 2019-07-16 23:19 | CRJ9 | D | 63,4 | 63,9 | 72,4 |
| 2019-07-16 23:22 | E75S | D | 63,2 | 65,3 | 77,9 |
| 2019-07-16 23:39 | B734 | D | 74,7 | 82,9 | 92,5 |
| 2019-07-16 23:44 | E195 | D | 73,3 | 79,2 | 88,8 |
| 2019-07-16 23:50 | B734 | D | 75,5 | 82,5 | 91,3 |
| 2019-07-16 23:52 | B788 | D | 77,3 | 83,9 | 93 |
| 2019-07-17 00:32 | B789 | D | 74,2 | 78,1 | 88,7 |
| 2019-07-17 23:02 | B734 | D | 73,2 | 79,2 | 89,2 |
| 2019-07-17 23:09 | E195 | D | 69,6 | 73,4 | 85,4 |
| 2019-07-17 23:16 | B763 | D | 77,1 | 84,5 | 93,2 |
| 2019-07-17 23:37 | B738 | D | 75 | 81 | 91 |
| 2019-07-17 23:48 | B738 | D | 74 | 80 | 90,2 |
| 2019-07-17 23:51 | B734 | D | 75,4 | 81,3 | 90,7 |
| 2019-07-18 05:40 | CL30 | D | 63,9 | 64,8 | 73 |
| 2019-07-18 23:07 | B763 | D | 78,4 | 86,4 | 94,4 |
| 2019-07-18 23:22 | B734 | D | 75,6 | 82,2 | 90,6 |
| 2019-07-18 23:24 | E195 | D | 64,9 | 67,7 | 76,6 |
| 2019-07-18 23:35 | E190 | D | 62,7 | 63,7 | 73,5 |
| 2019-07-19 03:37 | E195 | D | 74,4 | 80,2 | 88,5 |
| 2019-07-19 23:08 | C295 | D | 63,9 | 65,3 | 74,3 |
| 2019-07-19 23:13 | B734 | D | 74,6 | 80,6 | 90,3 |
| 2019-07-19 23:44 | B733 | D | 73,8 | 79,9 | 89,6 |
| 2019-07-19 23:46 | B737 | D | 72,2 | 77,7 | 88,1 |
| 2019-07-19 23:49 | A321 | D | 72,1 | 77,4 | 88,1 |
| 2019-07-20 23:08 | E195 | D | 74,4 | 79,7 | 88,2 |
| 2019-07-20 23:41 | B738 | D | 76,7 | 81,3 | 90,5 |
| 2019-07-20 23:45 | B734 | D | 76,3 | 82,4 | 91 |
| 2019-07-21 22:09 | B738 | D | 73,1 | 79 | 88 |
| 2019-07-21 22:27 | E195 | D | 71,7 | 76,6 | 87,4 |
| 2019-07-21 22:38 | E75S | D | 71,7 | 77 | 87,2 |
| 2019-07-21 23:30 | E195 | D | 72 | 77,2 | 87,7 |
| 2019-07-21 23:35 | B789 | D | 71,5 | 75,3 | 85,6 |
| 2019-07-21 23:46 | B738 | D | 73,7 | 78,9 | 89,2 |
| 2019-07-21 23:54 | B734 | D | 74,7 | 81,1 | 90,3 |
| 2019-07-22 22:11 | A321 | D | 72,5 | 78,3 | 88,6 |
| 2019-07-22 23:06 | E195 | D | 73 | 78,9 | 88 |

| Data i godz. zdarzenia | Samolot | Operacja* | L _{Aeq} | L _{Amax} | L _{AE} |
|------------------------|---------|-----------|------------------|-------------------|-----------------|
| | | | [dB] | [dB] | [dB] |
| 2019-07-22 23:33 | E75S | D | 73,2 | 78,3 | 88,3 |
| 2019-07-22 23:35 | E195 | D | 73,6 | 79,4 | 88,5 |
| 2019-07-23 00:37 | B788 | D | 71,6 | 76,1 | 86 |
| 2019-07-23 23:13 | E195 | D | 74,7 | 81,2 | 89,2 |
| 2019-07-23 23:34 | B734 | D | 75,7 | 81,9 | 91,6 |
| 2019-07-23 23:53 | B738 | D | 72,9 | 79,6 | 89 |
| 2019-07-24 22:49 | B734 | D | 75,5 | 82,5 | 91,5 |
| 2019-07-24 22:53 | B734 | D | 76,3 | 83 | 91,7 |
| 2019-07-24 23:11 | CRJ9 | D | 75 | 80,9 | 88,4 |
| 2019-07-24 23:29 | B738 | D | 73,4 | 79,9 | 89,1 |
| 2019-07-25 00:19 | B738 | D | 72,2 | 77,1 | 86,9 |
| 2019-07-25 00:34 | B738 | D | 75 | 81,7 | 90,7 |
| 2019-07-25 22:01 | B738 | D | 73,3 | 79,3 | 88,8 |
| 2019-07-25 22:02 | B738 | D | 75,8 | 82,7 | 91,5 |
| 2019-07-25 22:13 | B763 | D | 65,4 | 69,7 | 76,2 |
| 2019-07-25 22:23 | E195 | D | 64,1 | 65,8 | 75,9 |
| 2019-07-25 22:48 | B734 | D | 75,5 | 81,5 | 90,9 |
| 2019-07-25 22:56 | E190 | D | 63,2 | 64,3 | 76,7 |
| 2019-07-25 23:38 | B788 | D | 72,4 | 77,2 | 86,6 |
| 2019-07-26 00:25 | B788 | D | 72,5 | 75,9 | 86 |
| 2019-07-26 23:13 | B738 | D | 74,9 | 80,3 | 89,5 |
| 2019-07-26 23:15 | B734 | D | 76,5 | 82,1 | 91,8 |
| 2019-07-26 23:18 | C295 | D | 63,8 | 66,8 | 75,3 |
| 2019-07-26 23:22 | B734 | D | 76,7 | 83,9 | 91,9 |
| 2019-07-26 23:58 | B737 | D | 75,1 | 81,1 | 89,3 |
| 2019-07-27 00:18 | B734 | D | 76,5 | 82,7 | 91,4 |
| 2019-07-27 00:44 | A321 | D | 74 | 79,2 | 89,3 |
| 2019-07-27 00:46 | E195 | D | 73,4 | 78,8 | 88,3 |
| 2019-07-27 00:52 | E195 | D | 74,2 | 79,8 | 88,3 |
| 2019-07-27 22:03 | P180 | A | 65 | 68,1 | 81,4 |
| 2019-07-28 22:02 | B738 | D | 75,8 | 81,3 | 89,4 |
| 2019-07-28 22:08 | A321 | D | 74,7 | 80 | 89,9 |
| 2019-07-28 22:14 | B738 | D | 76 | 82,9 | 90,9 |
| 2019-07-28 22:41 | B739 | D | 74,8 | 81,2 | 89,8 |
| 2019-07-28 22:43 | B738 | D | 75,3 | 81 | 89,2 |
| 2019-07-28 22:53 | DH8D | D | 67 | 68,7 | 78,8 |
| 2019-07-28 23:07 | CRJ9 | D | 70,5 | 75,8 | 84,5 |
| 2019-07-28 23:09 | CRJ9 | D | 70,7 | 74,7 | 85 |
| 2019-07-28 23:13 | E195 | D | 76 | 81,4 | 89,6 |
| 2019-07-28 23:15 | DH8D | D | 67,6 | 70,3 | 79,3 |
| 2019-07-28 23:16 | E190 | D | 73 | 78,2 | 86,8 |
| 2019-07-28 23:18 | DH8D | D | 66,1 | 68,4 | 78,2 |
| 2019-07-28 23:20 | DH8D | D | 66,7 | 70,1 | 79,2 |
| 2019-07-28 23:21 | E195 | D | 74,2 | 80,1 | 88,4 |
| 2019-07-28 23:23 | DH8D | D | 66,6 | 70 | 79,4 |
| 2019-07-28 23:26 | E170 | D | 73,1 | 77,7 | 87,4 |
| 2019-07-28 23:29 | E195 | D | 74,6 | 80,5 | 88,4 |
| 2019-07-28 23:31 | DH8D | D | 68,2 | 71,2 | 80,3 |
| 2019-07-28 23:33 | B734 | D | 79 | 86 | 93 |
| 2019-07-28 23:35 | E195 | D | 73,6 | 79,4 | 87,4 |
| 2019-07-28 23:37 | DH8D | D | 67,4 | 71,3 | 81,2 |
| 2019-07-28 23:38 | B738 | D | 76 | 80,9 | 89,8 |
| 2019-07-28 23:40 | B738 | D | 75 | 80,5 | 88,8 |
| 2019-07-28 23:42 | B734 | D | 75,5 | 82,5 | 90,4 |
| 2019-07-28 23:45 | E190 | D | 74,3 | 80,3 | 88,1 |
| 2019-07-29 05:25 | B789 | A | 71,2 | 76,8 | 86,2 |
| 2019-07-29 05:38 | B752 | A | 71,6 | 76,2 | 86,5 |

| Data i godz. zdarzenia | Samolot | Operacja* | L _{Aeq} | L _{Amax} | L _{AE} |
|------------------------|---------|-----------|------------------|-------------------|-----------------|
| | | | [dB] | [dB] | [dB] |
| 2019-07-29 05:45 | B752 | A | 72,8 | 78 | 87,7 |
| 2019-07-29 22:21 | B738 | D | 75,1 | 80,5 | 89,6 |
| 2019-07-29 23:00 | E195 | D | 72 | 77 | 86,9 |
| 2019-07-29 23:20 | B734 | D | 74,7 | 80,5 | 90,4 |
| 2019-07-29 23:27 | B734 | D | 62,9 | 63,9 | 72,4 |
| 2019-07-30 23:15 | CRJ9 | D | 64 | 66,2 | 75,1 |
| 2019-07-30 23:16 | DH8D | D | 66,2 | 68,5 | 81,9 |
| 2019-07-30 23:24 | B788 | D | 71,4 | 76,4 | 86 |
| 2019-07-30 23:35 | B734 | D | 77,1 | 84,1 | 92,7 |
| 2019-07-30 23:37 | B738 | D | 74,3 | 80,4 | 88,6 |
| 2019-07-31 00:04 | B738 | D | 74,5 | 81 | 89,7 |
| 2019-07-31 00:19 | B734 | D | 74,1 | 80,1 | 90,4 |
| 2019-07-31 05:49 | B738 | D | 74,2 | 82,3 | 90,4 |
| 2019-07-31 22:02 | B734 | D | 63,3 | 64,2 | 72,3 |
| 2019-07-31 22:05 | B752 | D | 71,5 | 76,1 | 87,7 |
| 2019-07-31 22:58 | B734 | D | 74,7 | 81,3 | 90,5 |
| 2019-07-31 23:00 | B733 | D | 74,5 | 81,8 | 89,8 |
| 2019-07-31 23:32 | E195 | D | 75,8 | 81,7 | 89,9 |
| 2019-08-01 00:29 | B738 | D | 75,9 | 81,3 | 90,7 |
| 2019-08-01 01:31 | B738 | D | 77 | 83,5 | 91,6 |

LEGENDA

- Samolot – typ statku powietrznego
- Operacja: A – lądowanie, D – start, P - przelot
- L_{Aeq} – równoważny poziom dźwięku dla zdarzenia akustycznego
- L_{Amax} – maksymalny poziom dźwięku dla zdarzenia akustycznego
- L_{AE} – ekspozycyjny poziom dźwięku dla zdarzenia akustycznego
- Kolorem niebieskim oznaczono zdarzenia akustyczne, które miały miejsce w czasie gdy nie były spełnione warunki meteorologiczne¹, a także wystąpiły zakłócenia od innych źródeł hałasu.

WARUNKI METEOROLOGICZNE DLA LOTNISKA:

Ustalane na wysokości: 106,51 m n.p.m

| Wielkości ustalone | Wartości maksymalne w danym miesiącu | Wartości minimalne w danym miesiącu | Wartości średnie miesięczne |
|-------------------------------|--------------------------------------|-------------------------------------|-----------------------------|
| Temperatura [°C] | 32,6 | 9,4 | 19,3 |
| Wilgotność względna [%] | 97 | 27 | 63 |
| Ciśnienie atmosferyczne [hPa] | 1008,6 | 991,4 | 999,9 |

¹ Warunki meteorologiczne określone w punkcie D "Referencyjnej metodyki wykonywania ciągłych pomiarów poziomów hałasu wprowadzanego do środowiska przez starty, lądowania i przeloty statków powietrznych w związku z eksploatacją lotnisk oraz kryteria lokalizacji punktów pomiarowych" (Załącznik nr 1 do rozporządzenia Ministra Środowiska z dnia 16 czerwca 2011 r. w sprawie wymagań w zakresie prowadzenia pomiarów poziomów substancji lub energii w środowisku przez zarządzającego drogą, linią kolejową, linią tramwajową, lotniskiem lub portem).

EPWA WARSZAWA

ROK: 2019, Lipiec

| [m/s] | |
|-------|-------|
| >=51 | 0,0% |
| 46-50 | 0,0% |
| 41-45 | 0,0% |
| 36-40 | 0,0% |
| 31-35 | 0,0% |
| 26-30 | 0,0% |
| 21-25 | 0,0% |
| 16-20 | 0,0% |
| 11-15 | 0,0% |
| 06-10 | 13,2% |
| 01-05 | 85,9% |

CISZE: 0,9%
 ZMIENNY: 7,7%
 SR. PRĘDK. = 3,5 m/s
 ODCH. STD. = 1,6 m/s
 MAX. PRĘDK. = 19 m/s
 KIER. PRZEW. = 270°

